

# 地面折光和三角高程測量

A. A. 伊佐托夫 П. П. 帕林年 著

測繪出版社

# 地而所光和三貴德得測

卷之二十一

卷之二十一

# 地面折光和三角高程測量

A. A. 伊佐托夫 П. П. 帕林年 著

林明仪、王广远等 譯

馮 尊 湯 校

測 繪 出 版 社

1958·北京

# 目 录

序言 .....	5
----------	---

## 第一章 三角高程測量和地面折光的理論

§ 1. 三角高程測量理論 .....	8
§ 2. 地面折光理論。正常折光 .....	18
§ 3. 近地面空氣層的溫度和濕度分布對垂直折光的影響 .....	28
§ 4. 與大地水準面形狀有關的三角高程測量誤差 .....	32

## 第二章 中央測繪科學研究所關於三角高程測量方面的工作

§ 5. 研究的任務和方法 .....	41
§ 6. 儀器及其研究。儀器誤差 .....	48
§ 7. 照準系統誤差的研究 .....	52
§ 8. 理論天頂距的確定 .....	57
§ 9. 氣象觀測 .....	61
§ 10. 遠距離的三角高程測量 .....	65
§ 11. 近距離的三角高程測量 .....	77
§ 12. 關於三角高程測量最有利時間的結論 .....	82
§ 13. 三角高程測量資料與氣象資料的比較 .....	94
§ 14. 三角高程測量的精度與視線高度及長度間的關係 .....	101
§ 15. 許用三角高程測量的特殊情況 .....	108

### 第三章 一些最重要的地面折光研究的分析

§ 16.	北高加索地面折光的研究 .....	114
§ 17.	地面折光年变的研究 .....	119
§ 18.	山区地面折光的研究 .....	126

### 第四章 三角高程測量作業的結論

§ 19.	烏克蘭測繪分局的三角高程測量工作 .....	131
§ 20.	莫斯科測繪分局在草原地区完成的地面折光的研究 .....	140
§ 21.	三角網中三角高程測量的精度 .....	149
§ 22.	应用三角高程測量的可能性 .....	162
附录	.....	168

# 地面折光和三角高程測量

A. A. 伊佐托夫 П. П. 帕林年 著

林明仪、王广远等 譯

馮 尊 湯 校

測 繪 出 版 社

1958·北京

ТРУДЫ ЦНИИГАИК  
ВЫПУСК 102  
А. А. Изотов и Л. П. Пеллинен  
ИССЛЕДОВАНИЯ ЗЕМНОЙ РЕФРАКЦИИ  
И МЕТОДОВ ГЕОДЕЗИЧЕСКОГО НИВЕЛИРОВАНИЯ  
Издательство геодезической литературы  
МОСКВА ★ 1955

本書共分四章。第一章說明了三角高程測量和地面折光的理論，并导出比較严密的三角高程的計算公式。第二章叙述苏联中央測繪科学研究所于1951年在莫斯科近郊所进行的野外工作，并分析和研究所測得的資料，而得出地面折光对觀測天頂距影响之性質和規律性与理論相符合的結論。第三章概述过去其他学者所完成的若干最重要的研究，并对这些研究进行了分析和評論。第四章研究了三角高程測量作業的資料，并着重研究关于草原地区折光影响的性質和規律性問題。最后在附录中載有研究的主要資料。

本書不論在理論探討方面，或是实际資料分析方面都是新穎的，可供为大地測量工作者在生产、教学和研究中的参考。

本書由中國科学院測量制圖研究室林明仪、王广运、許厚澤、王华均、孟嘉春、朱成章諸同志翻譯，并由軍委測繪學院馮尊湯同志校訂。

### 地面折光和三角高程測量

---

著 者 A.A.伊佐托夫 Л.П.帕林年  
譯 者 林明仪 王广运 等  
出版者 測 繪 出 版 社  
北京宣武門外永光寺西街3号  
北京市書刊出版業營業登記證字第081號  
發行者 新 华 書 店  
印刷者 人民交通出版社印刷厂

---

印数(京)1—2000册 1958年11月北京第1版  
开本31"×43" 1958年11月第1次印刷  
字数170000 印张8 $\frac{2}{3}$   
定价(10)1.05元

# 目 录

序言 .....	5
----------	---

## 第一章 三角高程測量和地面折光的理論

§ 1. 三角高程測量理論 .....	8
§ 2. 地面折光理論。正常折光 .....	18
§ 3. 近地面空氣層的溫度和濕度分布對垂直折光的影響 .....	28
§ 4. 與大地水準面形狀有關的三角高程測量誤差 .....	32

## 第二章 中央測繪科學研究所關於三角高程測量方面的工作

§ 5. 研究的任務和方法 .....	41
§ 6. 儀器及其研究。儀器誤差 .....	48
§ 7. 照準系統誤差的研究 .....	52
§ 8. 理論天頂距的確定 .....	57
§ 9. 氣象觀測 .....	61
§ 10. 遠距離的三角高程測量 .....	65
§ 11. 近距離的三角高程測量 .....	77
§ 12. 關於三角高程測量最有利時間的結論 .....	82
§ 13. 三角高程測量資料與氣象資料的比較 .....	94
§ 14. 三角高程測量的精度與視線高度及長度間的關係 .....	101
§ 15. 許用三角高程測量的特殊情況 .....	108

### 第三章 一些最重要的地面折光研究的分析

§ 16.	北高加索地面折光的研究 .....	114
§ 17.	地面折光年变的研究 .....	119
§ 18.	山区地面折光的研究 .....	126

### 第四章 三角高程測量作業的結論

§ 19.	烏克蘭測繪分局的三角高程測量工作 .....	131
§ 20.	莫斯科測繪分局在草原地区完成的地面折光的研究 .....	140
§ 21.	三角網中三角高程測量的精度 .....	149
§ 22.	应用三角高程測量的可能性 .....	162
附录	.....	168

## 序　　言

在十九世紀以前，三角高程測量几乎是測定控制點高程的基本方法，而且廣泛地用來作為地形測量的高程控制。因此，在從前，它就引起了著名學者們的注意，並成為他們研究的對象。大家都知道，在這個領域內，最重要的研究要歸功於蘇聯的學者們，如 B. Я. 斯特魯維，Н. Я. 金格爾，И. И. 波麥蘭采夫等。他們的研究，對三角高程測量方法的發展有很大的貢獻，而且為此法的實際應用創立了科學的基礎。

但是，由於幾何水準測量方法的發展，人們對於三角高程測量問題的注意已開始逐漸降低。在本世紀中，關於這個問題的研究已沒有得到絲毫的進展。到現在為止，三角高程測量的工作一般還是從過去研究中所建立起來的原則和觀點出發，它們對於現代三角高程測量工作中所發生的一系列問題不能給予解答，有鑑於此，蘇聯中央測繪科學研究所便對三角高程測量問題作了新的研究。

大家都知道，產生三角高程測量誤差的主要誤差之一，就是地面折光對照準目標的天頂距之影響。因此，蘇聯中央測繪科學研究所在三角高程測量問題方面的主要研究任務，就在於研究地面折光對觀測天頂距的影響。

本文第一章是說明三角高程測量和地面折光的理論，其中對三角高程測量的公式作了比較嚴密的推導。在該公式中，首次考慮到反映大地水準面和橢圓形狀不適合的影響的改正項，在很多情況下，這種改正項都是不能被省略的。折光影響的改正項則表為可以按照氣象資料來計算的一般形式，並易於轉化為局部情況。地面折光的理論，也是從現代關於近地面大氣層結構的觀念和資料出發，以嚴密的和一般的形式來說明的。在這種理論的基礎上，推導了計算折光系數的公式，其中所根據的氣象資料是與接近於實際情況的正常大氣層結構相適應的，並且也研究了折光系數與近地面空氣層的正常結構被破壞的情況之間的關係。雖然這些公式還不能用於計算實際的折光系數，但

還是可以預見到在一定氣象資料條件下地面折光對三角高程測量結果影響的性質和程度。

第二章中所敘述的，是1951年在莫斯科近郊所進行的野外工作，這是中央測繪科學研究所對三角高程測量所進行的研究工作中基本的和最重要的部分。這次野外工作的內容就是研究在白天不同時間里，在不同的氣象條件下，以及在不同的視線長度和高度時，折光對三角高程測量精度的影響。

照準點是適應於研究目的而選擇的，其天頂距的觀測採用高精度光學經緯儀。這些點的高程是用幾何水準測量確定的。此外，在整個野外工作期間，還進行了經常的氣象觀測。同時，特別注意到溫度垂直梯度的測定。

野外工作持續的時期很長，加上計劃的宏大，使我們所得到的實際資料，足以用統計法研究折光對三角高程測量精度的影響。這些資料全是在1952年整理的。從第一章所闡明的地面折光理論出發，比較三角高程和幾何水準的結果，以及把它們和氣象資料相比較，就可導出一些關於地面折光對觀測天頂距影響的性質和規律性的結論，而這些結論是獨立的和彼此相符的。

個別的試驗，儘管應用很廣，但只能反映出一定地點和一定時間條件的影響。這種顧慮致使我們在所寫的研究報告中，也要利用在不同地點和不同時間的條件下所完成的其他類似工作的資料。

本文第三章的內容包括過去其他學者所完成的最重要的研究的簡要評論，這些研究包含有對研究地面折光極有價值的實際資料。本章首先討論到我國學者斯特魯維和波麥蘭采夫的研究，以及德國學者巴烏耶爾弗特的研究。重新處理這些研究資料所得到的結論，正好與本文前面幾章所敘述的基本結論相吻合。

為了擴大研究的內容和求得補充的結論起見，本文第四章研究了三角高程測量的作業資料。同時着重研究了關於草原地區折光影響的性質和規律性的問題。為了解決這個問題，烏克蘭測繪分局在連續三角網上所進行的三角高程測量工作是特別有價值的，該三角網中一半三角點具有幾何水準測量所確定的高程。為了同樣的目的，也利用了在

莫斯科測繪分局第一队隊長 Г. С. 德雅科夫工程师的領導下，按我們制訂的計劃所完成的三角高程測量的研究資料。全部資料的處理，証實了我們關於折光對三角高程測量精度影響之特徵的基本結論是有根據的。此外，根據烏克蘭測繪分局作業的資料，我們也研究了關於連續三角網中三角高程測量各種誤差的影響和積累的問題。從處理這些資料中可以看出，連續三角網中三角高程測量誤差的影響，在頗大程度上將相互抵消，而沒有引起過大的誤差積累。

在第四章之末，敘述了由我們進行研究工作中所得出的實用建議和結論。

本文還附有我們研究的主要資料。這些資料不僅可用来檢驗我們的結論，而且可作為地面折光問題其他考慮的基礎。

參加本著作的有大地測量工程师 П. Е. 拉查諾夫，Н. В. 斯塔羅斯齊娜，И. С. 卡津尼克和技术員 А. М. 阿布拉莫夫，本文在多方面都得到了他們的幫助，故特向他們表示謝意。我們也向幫助我們消除了本文中一系列缺陷的編輯、科學技術副博士 А. В. 雷托夫致謝。

我們希望，本文所敘的研究工作及其結果，將對改進和更廣泛地應用三角高程測量有所裨益，因為三角高程測量作為地形測量高程控制是一種方便而又靈活的方法。

教授、科學技術博士 А. А. 伊佐托夫  
科學技術副博士 Л. П. 帕林年

# 第一章 三角高程測量和 地面折光的理論

## § 1. 三角高程測量理論

雖然人們在很久以前就採用了三角高程測量，但直到現在為止，對它的理論的探討還是很簡單和不夠徹底的。其最簡單的地方，就在於它作出下列假定：視線（光線）由於在近地面大氣層中受到屈折而描繪成圓弧，地球各準面本身之間是互相平行的球面。這種情況致使我們在這裡須重新探討三角高程測量的理論，同時使這種理論更正確些，這對提高三角高程測量的研究結果或實際工作結果的精度都是必需的。

現在先導出單向三角高程測量的一般公式。

設從地球自然表面上的點  $A$  測得點  $B$  的天頂距  $Z_1^0$ ，要求確定這兩點在某種給定的相對表面上的高差  $H_2 - H_1$ （圖 1）。這種相對的表面，我們以後再作選擇。首先我們假定地面折光的影響等於零，而且從點  $A$  至點  $B$  的視線是一條直線。通過  $A$  和  $B$  兩點作至所採用的橢圓體面的法線  $AA_0$ 、 $BB_0$  和垂線  $AA'_0$  和  $BB'_0$ ，後者是過此兩點的準面的垂線。 $AB$  線在所採用的橢圓體面上的投影  $A_0B_0$  以  $s$  表示，而  $A$ 、 $B$  兩點的所求高程以

$$H_1 = AA'_0 \approx AA'$$

$$H_2 = BB'_0 \approx BB'$$

表示。

我們不知道沿  $AB$  準線的重力分佈情況和垂線偏差，嚴格地說，我們根據  $A$ 、 $B$  兩點的天文和大地測量，僅能確定這兩點在所採用的橢圓體面上的高差，也就是只有下面的數值：

$$q_2 - q_1 = BB_0 - AA_0.$$

屬於橢圓體法線的點  $B$  天頂距以  $Z_1^0$  表示，在法截面  $AB$  中，點

*A* 所觀測的垂綫偏差，也就是在該平面內的垂綫和橢圓體面法綫之間的角度，我們以  $u_1$  表示，故得：

$$Z_1^\circ - z_1^\circ = -u_1. \quad (1 \cdot 1)$$

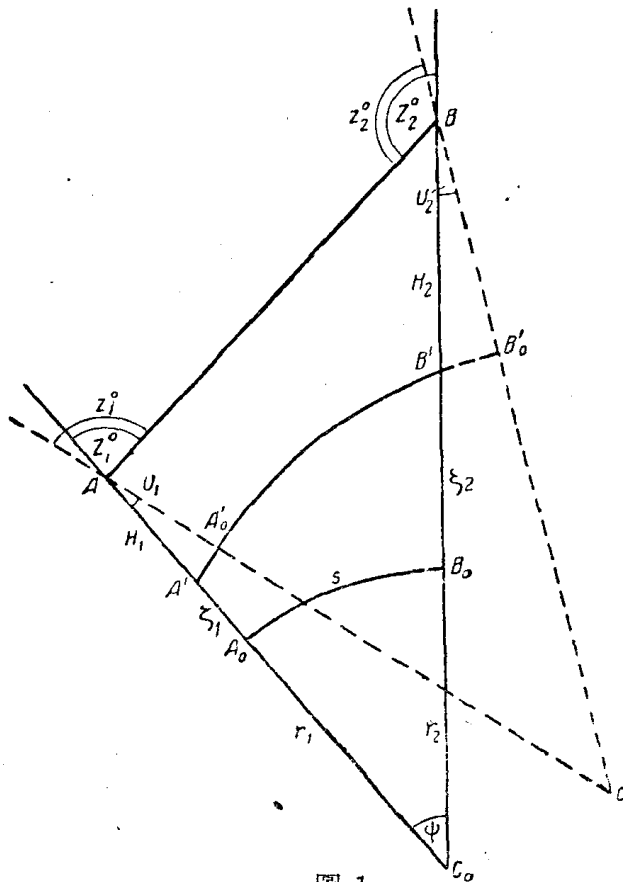


圖 1

如果，假定所研究的兩點間的距離不超出 40 公里，則  $A_0B_0$  弧視為圓弧，其精度對於所採用的橢圓體扁率來說，是三次以下的小量。這樣在確定點 *A*、*B* 兩點的高差中所引起的誤差不超出 15 公厘。這些圓的半徑  $r_1 = r_2 = R$  應採取等於橢圓體法藏線  $A_0B_0$  在點  $A_0$  上的曲率半徑，並按下式計算：

$$\frac{1}{R} = \frac{1}{N} (1 + \eta^2 \cos^2 A_{1,2}) \text{①}$$

① 見 Ф. Н. 克拉索夫斯基“大地測量學”下卷，1942 年

式中  $A_{1,2}$  为该截线的方位角， $\eta$  是按下列等式确定的：

$$\eta = e' \cos^2 B_m.$$

式中  $e'$  为椭圆体的第二偏心率  $B_m$  为  $A$ 、 $B$  两点的平均纬度。

利用图 1 的符号可以写出：

$$\frac{q_1 + R}{q_2 + R} = \frac{\sin(Z_1^\circ - \psi)}{\sin Z_1^\circ} = \cos \psi - \sin \psi \operatorname{ctg} Z_1^\circ.$$

或者稍微变化后得：

$$q_2 - q_1 = (R + q_2) \left( \operatorname{ctg} Z_1^\circ \sin \frac{s}{R} + 1 - \cos \frac{s}{R} \right).$$

由此，当  $s < 40$  公里时，以高精度求得

$$q_2 - q_1 = s \left( 1 + \frac{q_2}{R} \right) \operatorname{ctg} Z_1^\circ + \frac{s^2}{2R} + \frac{s^2}{6R^2} (2q_2 + q_1). \quad (1 \cdot 2)$$

实际上，仅是将大地测量结果采用众所熟知的投影方法归算到所采用的椭圆体表面上时才需要高度  $q$ 。在大多数情况下，三角高程测量结果的应用，是为了求出表示地面相应点重力位的所谓水准高程。在任何水准高程系统中，地面点的高程  $H$ ，等于该点和海平面上的重力位之差  $\Delta W$  与其一重力值之比。这里我们不讨论各种不同水准高程系统的特点，以后我们是利用苏联所采取的、按下面等式所确定的法高  $H$  的系统。

$$H = \frac{\Delta W}{\gamma_m}$$

式中  $\gamma_m$  为海平面和该地面点间的正常重力平均值，从地面沿着椭圆体面的法线向下截取这些高程，我们便可定出一表面，名为“似大地水准面”，这个面我们采取作为水准高程的参考表面。

在海洋上似大地水准面是和大地水准面相吻合的，但在陆地上则有些偏差。根据计算成果证明，在山区似大地水准面与大地水准面的差距达 1—2 公尺，而在平原地区这种差距并不大。

我们以  $\zeta_1$ ， $\zeta_2$  各表示在  $A$ 、 $B$  点上似大地水准面对所采用的椭圆体的高程，则

$$\zeta_1 = A_0 A',$$

$$\zeta_2 = B_0 B',$$

將下列數值

$$q_1 = H_1 + \zeta_1$$

$$q_2 = H_2 + \zeta_2$$

代入公式(1,2)中，便得有足夠精度的公式為：

$$\begin{aligned} H_2 - H_1 &= s \left( 1 + \frac{H_2}{R} \right) \operatorname{ctg} Z_1^\circ + \frac{s^2}{2R} + \frac{s^2}{6R^2} (2H_2 + H_1) - \\ &\quad - (\zeta_2 - \zeta_1) + \frac{H_2 - H_1}{R} \zeta_1. \end{aligned}$$

現將上式中的天頂距改換為以測站點垂綫為參考的天頂距，并注意到公式(1,1)和  $z_1 \approx 90^\circ$  則得：

$$\begin{aligned} H_2 - H_1 &= s \left( 1 + \frac{H_2}{R} \right) \operatorname{ctg} z_1^\circ + \frac{s^2}{2R} + \frac{s^2}{6R^2} (2H_2 + H_1) + \\ &\quad + \frac{H_2 - H_1}{R} \zeta_1 - (\zeta_2 - \zeta_1) + u_1 s. \end{aligned} \quad (1 \cdot 3)$$

其次，我們再利用 M. C. 莫洛金斯基所導出的天文水準測量公式①：

$$d\zeta = u ds - (dH - dh),$$

式中  $dh$  為微分高差， $dH$  為地面上兩個無限接近的點法高之差。根據這個公式積分後便得：

$$\zeta_2 - \zeta_1 = u_m s - \Delta E \quad (1 \cdot 4)$$

$$\Delta E = \int_{AB} (dH - dh),$$

$$u_m = \frac{\int_{AB} u ds}{s}. \quad (1 \cdot 5)$$

$\Delta E$  為  $A, B$  兩點的測量高差換算為法高差的改正數。根據大地重力測量成果，此改正數可用下面對我們的要求有足夠精度的公式來

---

① M. C. 莫洛金斯基：“用幾何（天文-大地）法研究地球自然面的形狀”，中央測繪科學研究所論文集 75 期，1950。

表示：

$$\Delta E = \int_{AB} \frac{g - \gamma}{\rho''} dH - \frac{0.0052}{\rho''} (H_2 - H_1)(B_2 - B_1) \sin 2B_m, \quad (1.6)$$

式中  $g$  为实际的重力值， $\gamma$  为在  $AB$  线各点上的正常重力值。

$u_m$  为沿  $AB$  线垂线偏差的平均积分值。

将(1.4)式代入(1.3)式中便得：

$$\begin{aligned} H_2 - H_1 &= s \left( 1 + \frac{H_2}{R} \right) \operatorname{ctg} z_1^\circ + \frac{s^2}{2R} + \frac{s^2}{6R^2} (2H_2 + H_1) + \\ &\quad + \frac{H_2 - H_1}{R} \zeta_1 + (u_1 - u_m)s + \Delta E. \end{aligned} \quad (1.7)$$

直到现在为止，我们都忽略了视线的弯曲，也就是忽略了地面折光的影响。在以后的论述中，我们称没有折光影响的天顶距  $z_1^\circ$  为理论天顶距，它可从(1.7)式根据所讨论的两点已知精密高程、两点间的距离以及在其周围的重力异常来确定。如果不管用什么方法确定了所测定的天顶距  $z_1$  因地面折光影响而产生的改正数：

$$\delta z_1 = z_1^\circ - z_1.$$

那么(1.7)式可以写成下列形式：

$$\begin{aligned} H_2 - H_1 &= s \left( 1 + \frac{H_2}{R} \right) \operatorname{ctg} z_1 + \frac{s^2}{2R} - s \delta z_1 \frac{s^2}{6R^2} (2H_2 + H_1) + \\ &\quad + \frac{H_2 - H_1}{R} \zeta_1 + (u_1 - u_m)s + \Delta E. \end{aligned} \quad (1.8)$$

我们所讨论的折光改正数  $\delta z_1$ ，可以设想为  $AB$  直线和视线在所采用的椭圆体法截面  $AB$  上的投影之切线间的夹角（图2）。如果我们已知视线上各点的折射系数的分布和它的梯度，则该视线投影的每一点上的曲率是很容易计算的。现在我们来求折光改正数和视线在垂直截面上投影像的曲率之间的关系。因为这个原因，我们先引述点折光系数的概念是适宜的。椭圆体的半径  $R$  和视线在垂直面上的投影像上流动点的曲率半径  $\rho$  之比，我们称为该点的点折光系数  $\kappa$ ，就是：

$$\kappa = \frac{R}{\rho}$$